

## UNIVERSITÀ DEGLI STUDI DI MILANO

FACOLTÀ DI SCIENZE E TECNOLOGIE DIPARTIMENTO DI SCIENZE DELLA TERRA "A. DESIO"



# LA MODELLISTICA APPLICATA ALL'AREA ZINGONIA

## Marco Masetti

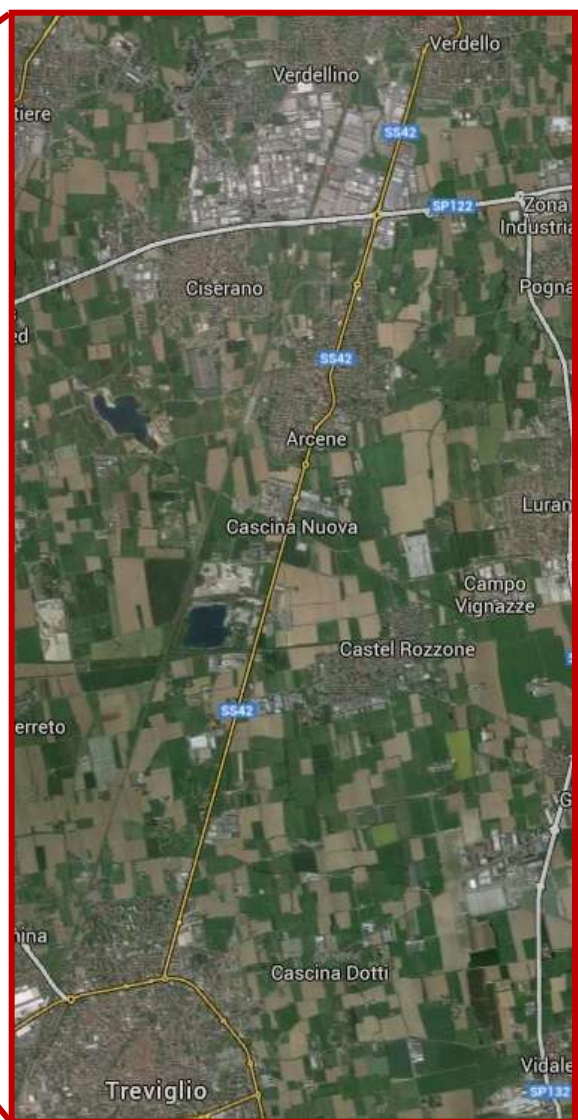
Dipartimento di Scienze della Terra Università degli Studi di Milano

E-mail: marco.masetti@unimi.it

Contaminazione delle acque sotterranee e tecnologie innovative di bonifica in Lombardia- Milano 28/09/2015

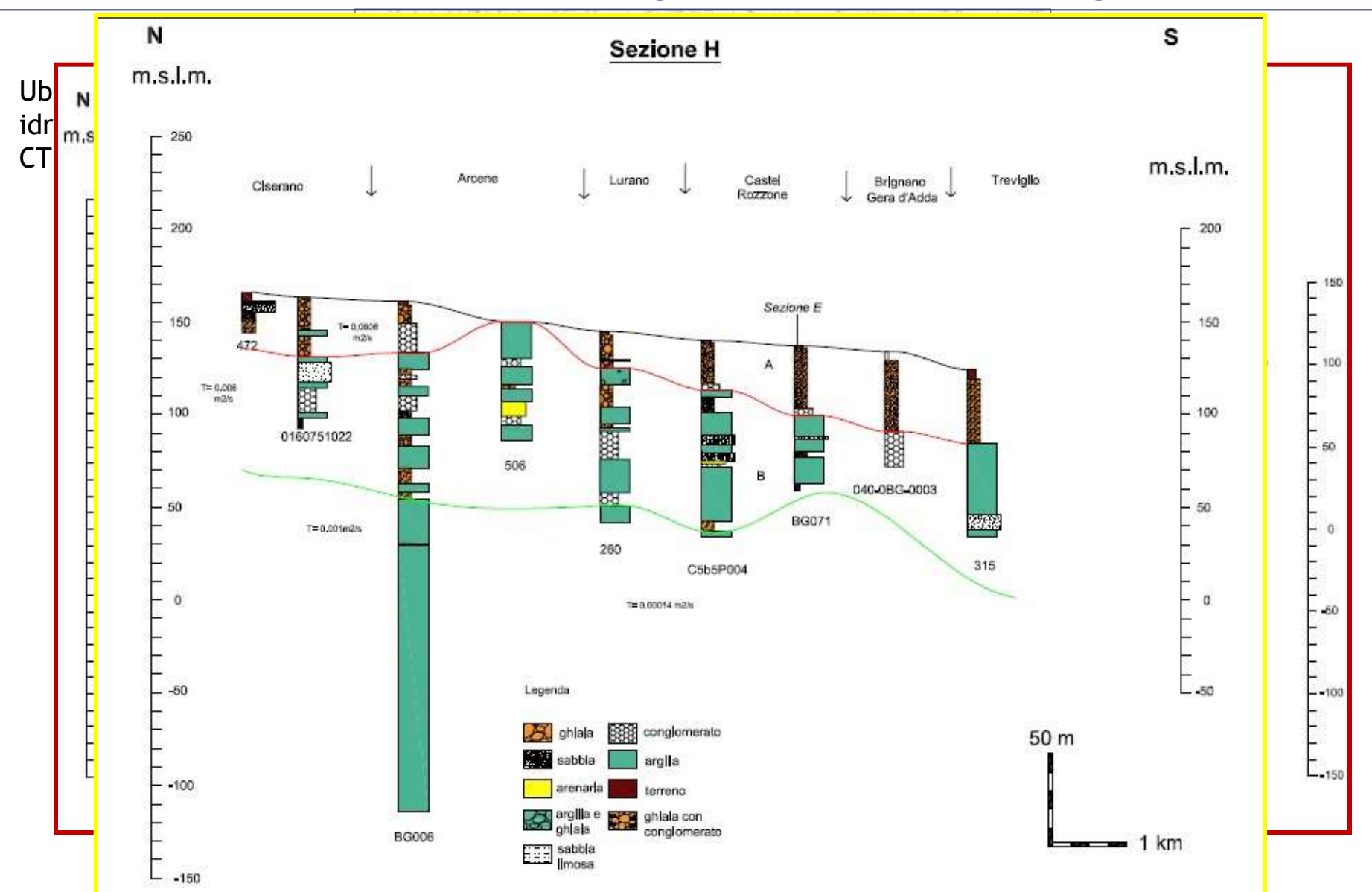
# Ubicazione area di studio: Zingonia







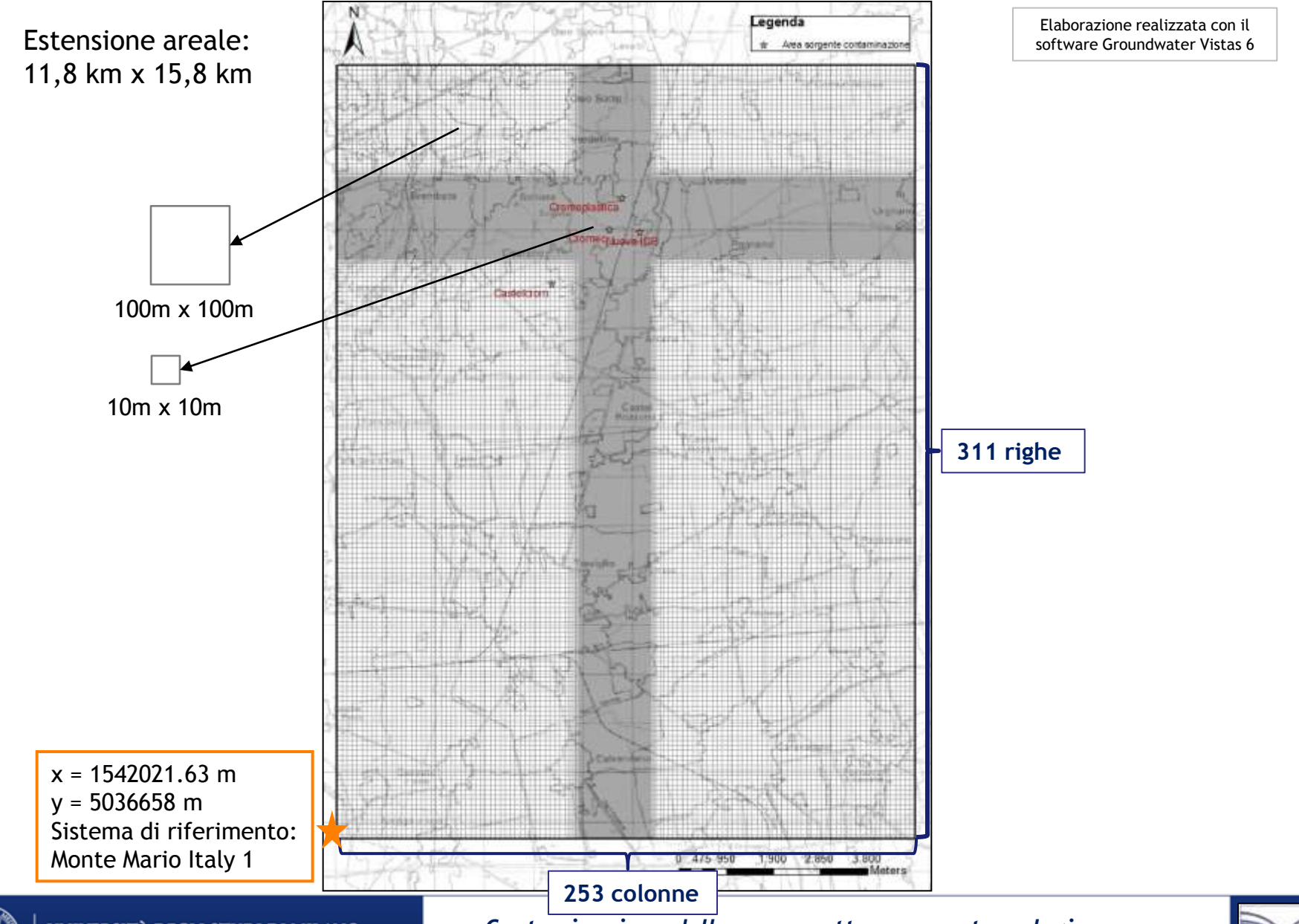
# Sezioni idro-stratigrafiche area Zingonia





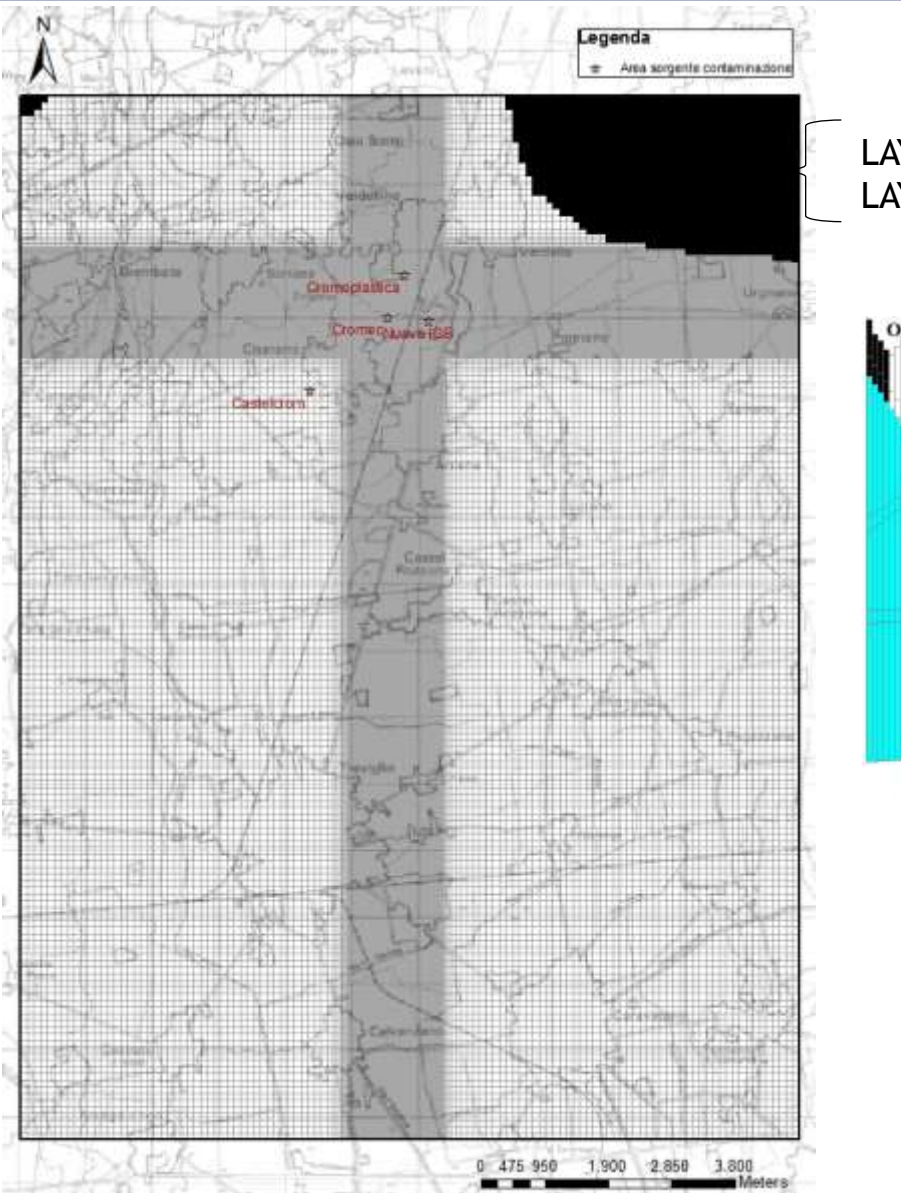


## Griglia di elaborazione del modello di flusso

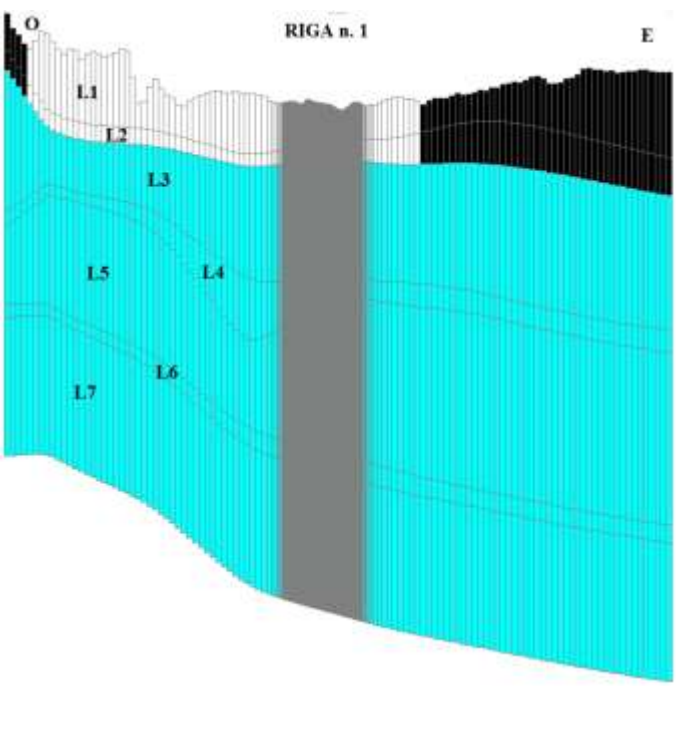


## NO FLOW = celle a flusso nullo

In nero: celle flusso nullo riferite ai layers più superficiali (1 e 2); ilayers sottostanti  $(3 \div 7)$  non presentano alcuna cella «noflow»

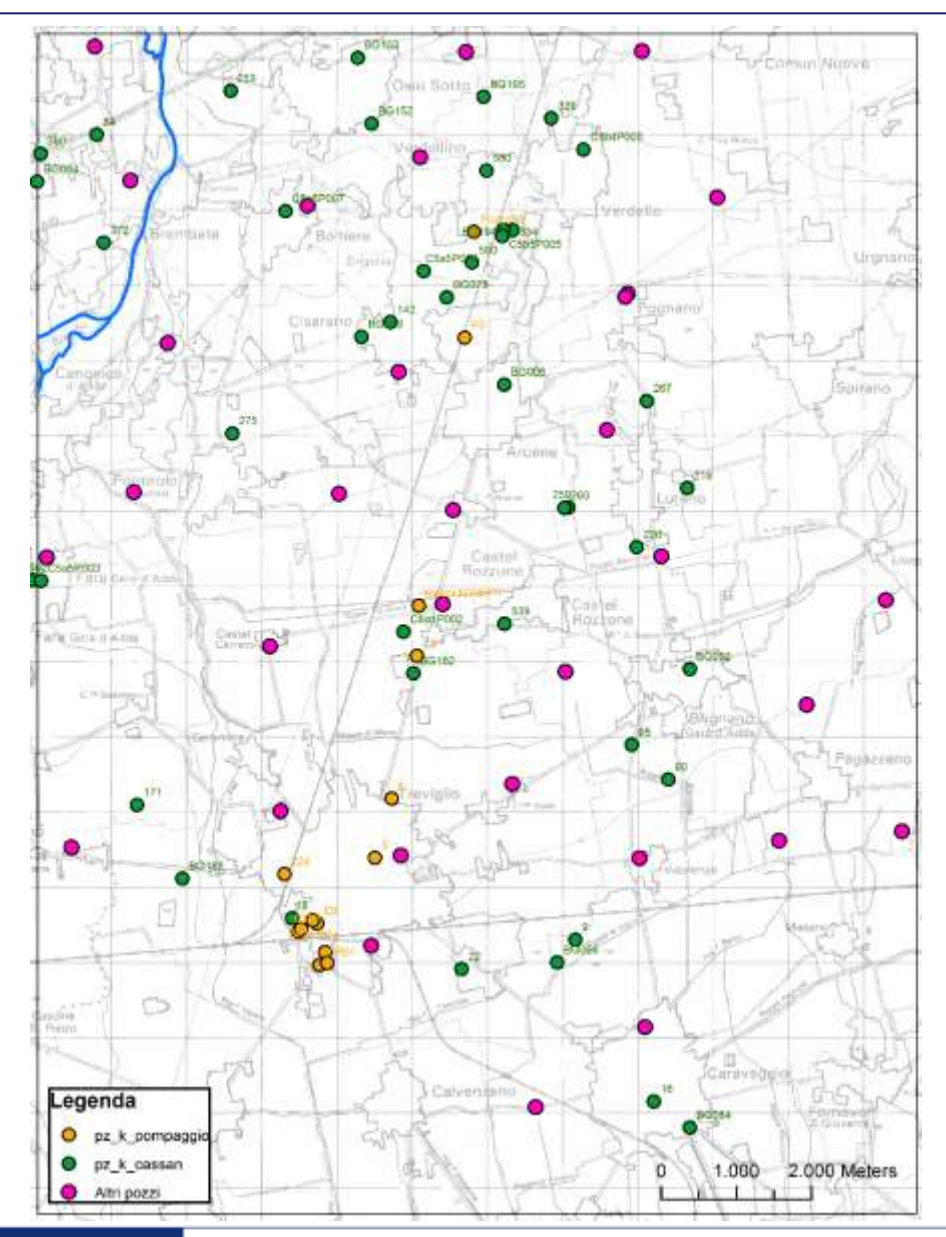






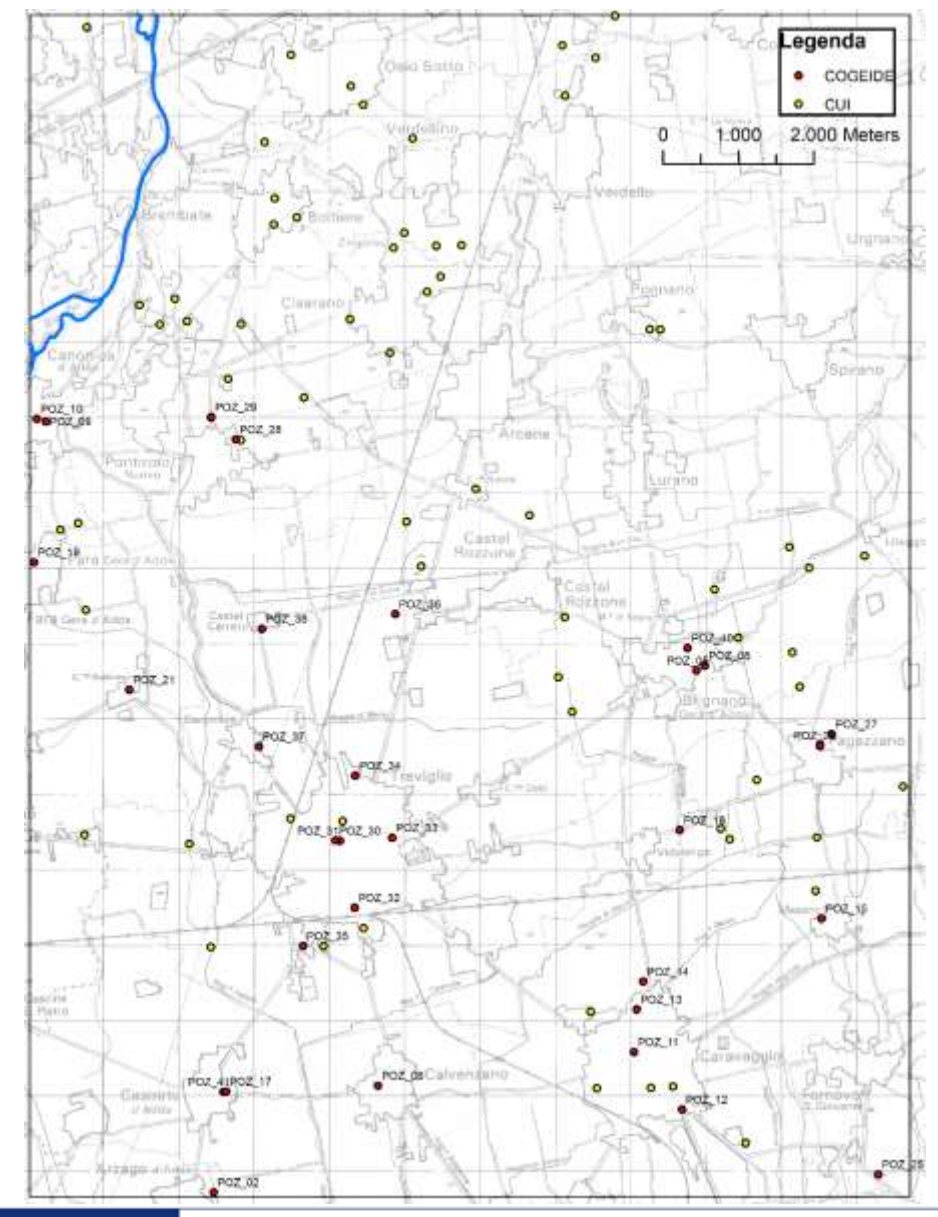


## Conducibilità idraulica - k





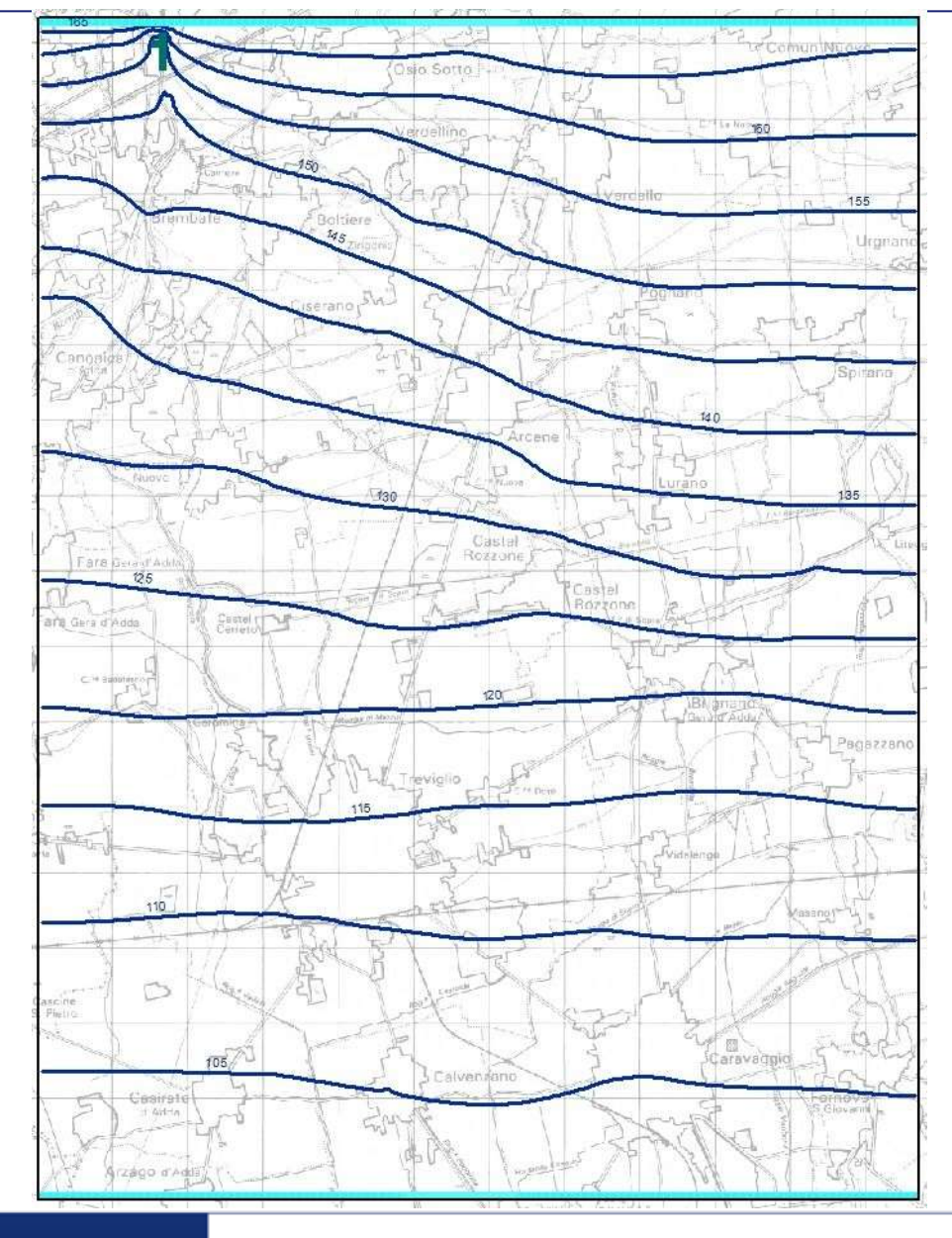
### **Prelievi**



Prelievi - n. 94 pozzi (CUI e COGEIDE) di cui sono noti i seguenti dati:

- quota assoluta (m s.l.m.) dei filtri (tetto e base);
- acquifero captato;
- portata idrica prelevata dal pozzo (in m³/s)

## RISULTATI MODELLO DI FLUSSO



LAYER 1

LAYER 2

LAYER 3

LAYER 4

## Calibrazione del modello di flusso

PARAMETRO STAT	PARAMETRO STATISTICO	VALORE		
Errore medi	Errore medio	2.253		
Errore medio ass	Errore medio assoluto	2.401		
Scarto quadratico	Scarto quadratico medio	1.535		
Scaled RMS E	Scaled RMS Error	0.10		
Coefficiente di corr	Coefficiente di correlazione	0.988		





## MODELLO DI TRASPORTO

del plume di contaminazione da Cr VI per il periodo 2008 ÷ 2014 (giugno)



### **IMMAGAZZINAMENTO**

### Sy - potenzialità specifica

Gruppo acquifero A e B: acquiferi liberi o misti

Gruppo acquifero B e C: acquiferi confinati

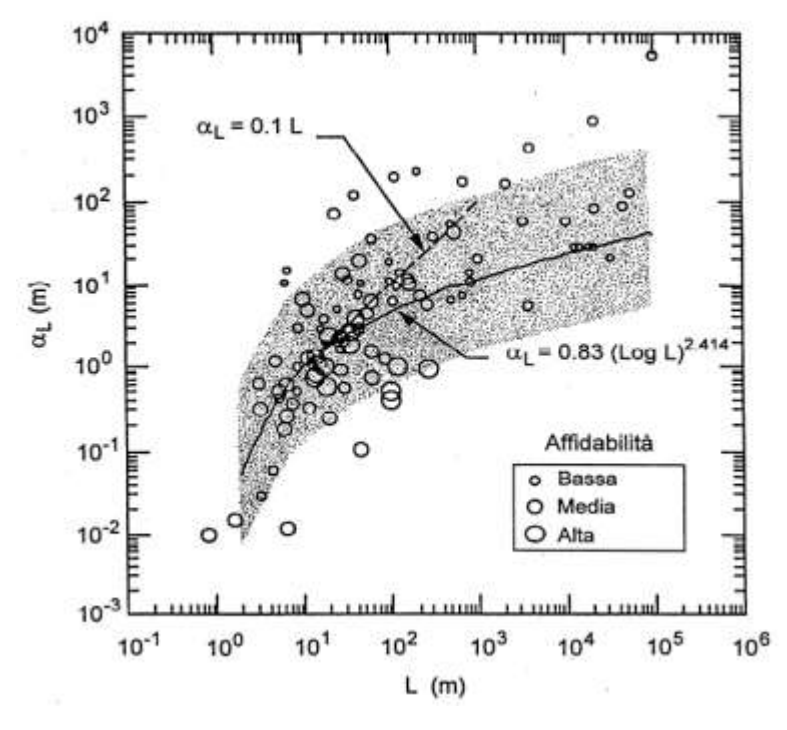
Parametro	Sigla	Unità di misura	Layer 1	Layer 2	Layer 3	Layer 4	Layer 5	Layer 6	Layer 7
lmmagazzinamento (potenzialità specifica)	S (Sy)	adimensionale	0.15	0.05	0.10	0.05	0.01	0.01	0.01
Immagazzinamento specifico	SS	1/m	0.15	0.05	0.10	0.05	0.01	0.01	0.01
Porosità efficace	ne	adimensionale	0.15	0.05	0.10	0.05	0.10	0.05	0.10



## **DISPERSIVITÁ**

L'effetto scala, ovvero la distanza di migrazione e dispersività longitudinale (Gelhar L.W., Welt C., Rehfeltd K.R., 1992), calcola i parametri tramite la seguente formula empirica:

 $a_l$ =0.83(LogL)<sup>2.414</sup> dove  $a_l$  è la dispersività longitudinale (in m) e L la lunghezza dell'area investigata (in m).



$$a_t = \frac{1}{10} a_l$$
  $a_z = \frac{1}{100} a_l$ 

dove  $a_t$  è la dispersività trasversale (in m)  $a_z$  è la dispersività verticale (in m).

Parametri utilizzati nel modello:

Dispersività Longitudinale (m)	10
Dispersività Trasversale (m)	1
Dispersività Verticale (m)	0.1



#### **ADSORBIMENTO**

#### Kd - coefficiente di distribuzione solido/liquido (l/kg)

#### Cromo esavalente:

- Isoterma di adsorbimento lineare
- Coefficiente di Ritardo R = max 2

È quindi possibile stimare il Kd del Cr VI dalla seguente formula:

$$R = 1 + K_d \frac{(1-n)\rho_s}{n}$$

dove:

Kd è il coefficiente di distribuzione (l/kg); n è la porosità efficace;  $\rho_s$  è la densità della matrice solida (kg/l).

Nella modellazione si è quindi lavorato per tentativi alla stima del coefficiente di distribuzione, così da arrivare ad una soluzione ritenuta rappresentativa della realtà.

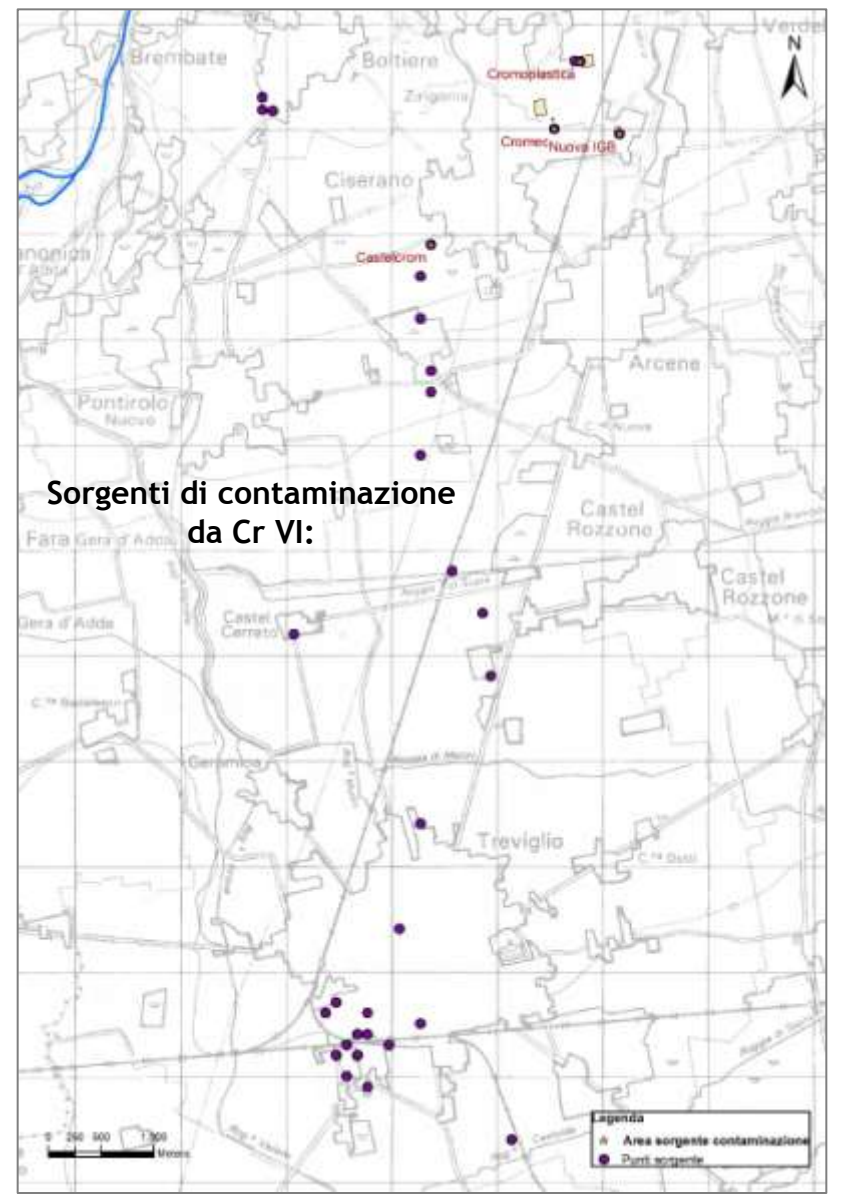
#### Parametri utilizzati nel modello:

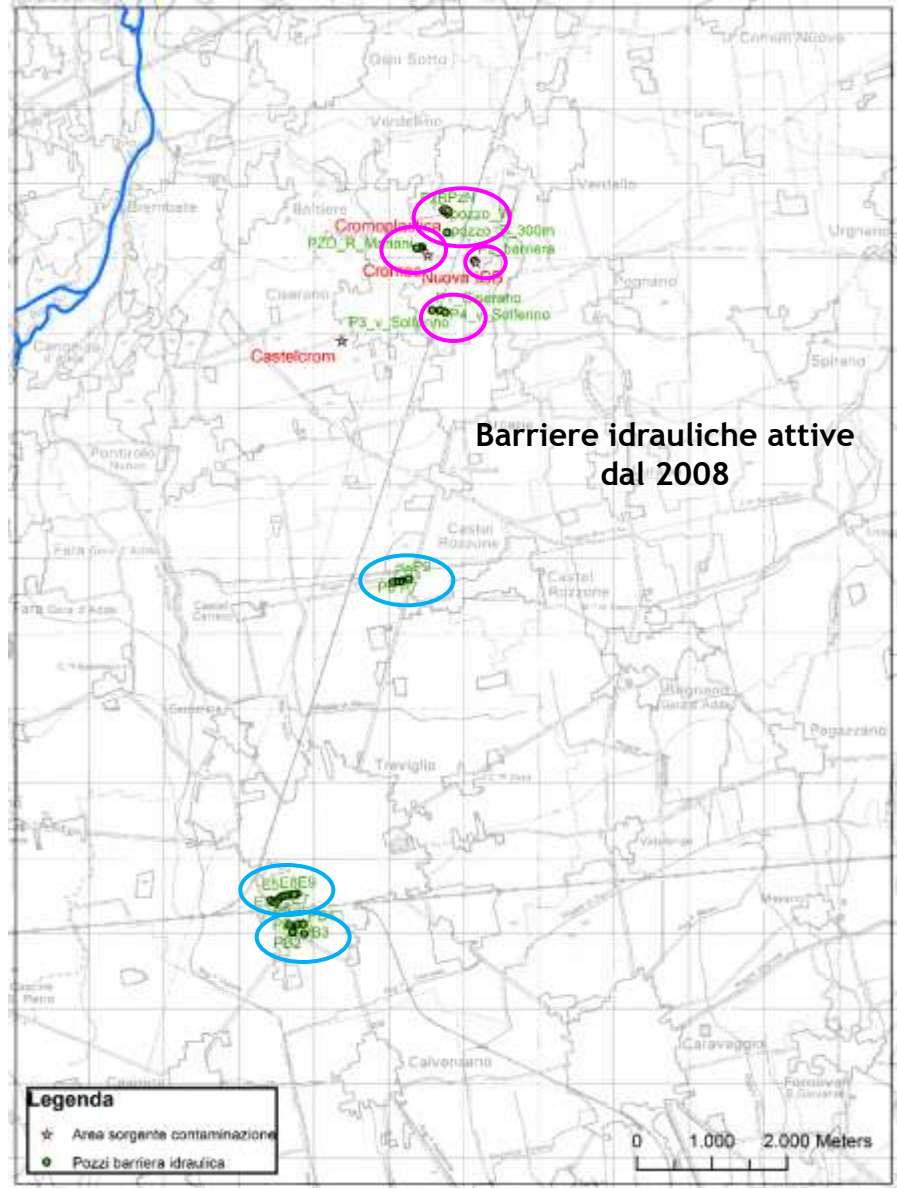
$ ho_s$ - densità matrice solida (kg/l)	1.5
Kd (l/kg)	0.5





# Sorgenti «I» e «II» e Pozzi barriera (t<sub>0</sub> = 2008)

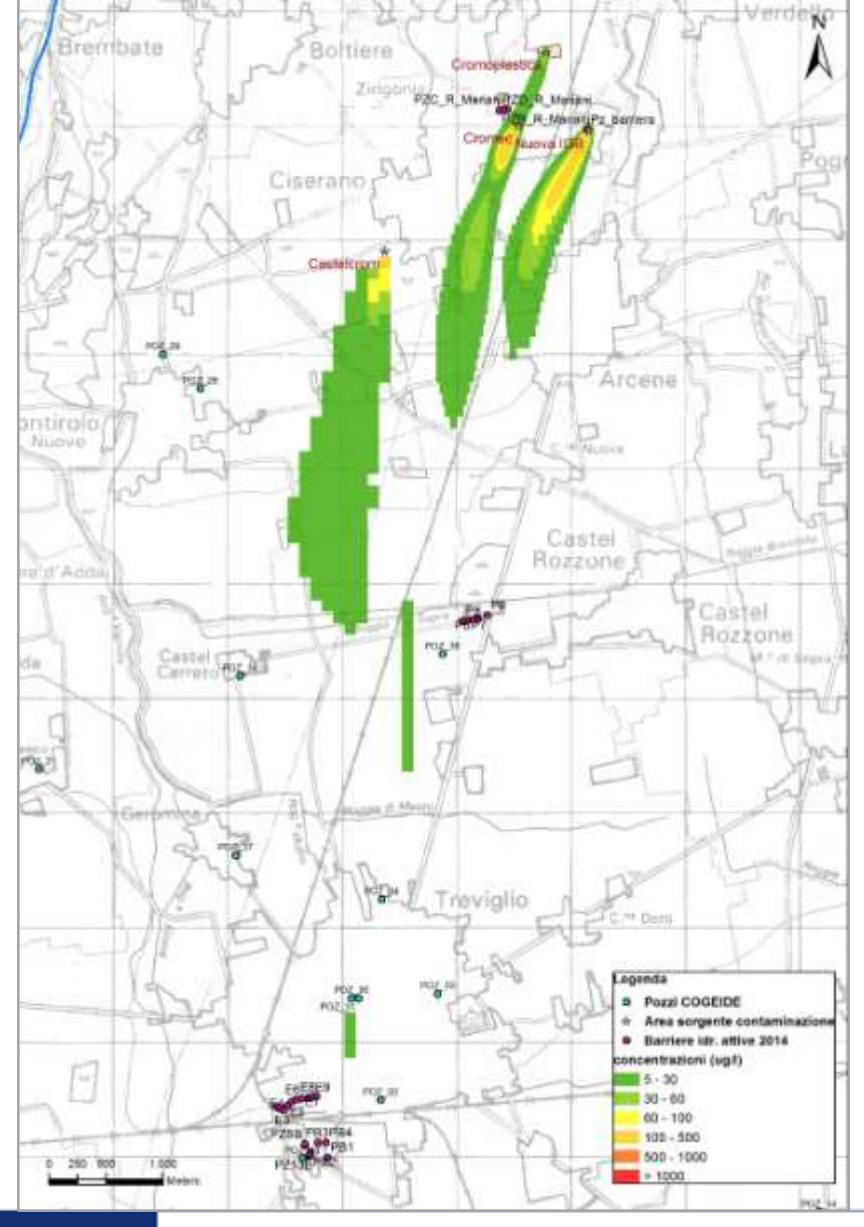








# RISULTATI MODELLO DI TRASPORTO Cr VI 2008 ÷ 2014 (giugno)



Anno 2008

Anno 2009

Anno 2010

Anno 2011

Anno 2012

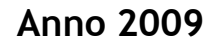
Anno 2013

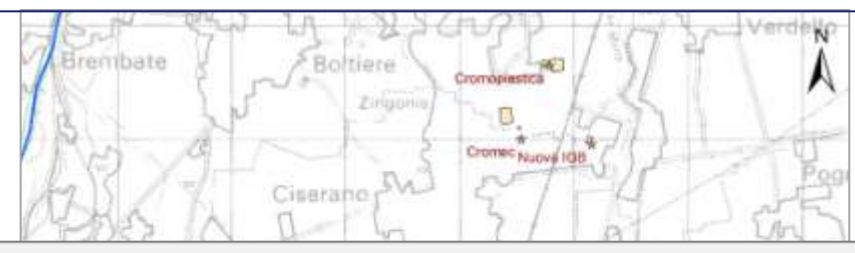
Anno 2014 (giugno)

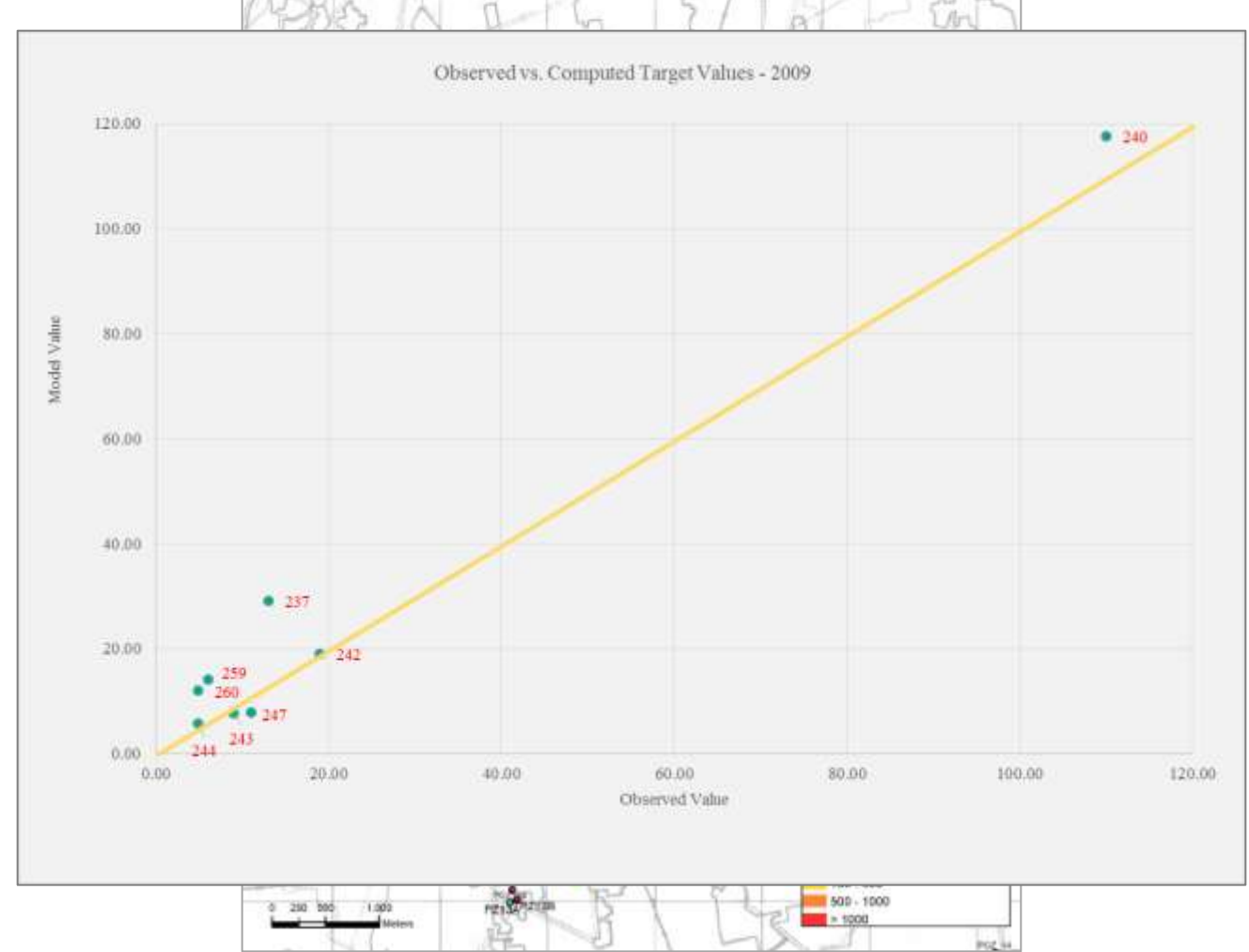




## VALIDAZIONE MODELLO DI TRASPORTO Cr VI

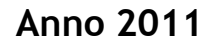


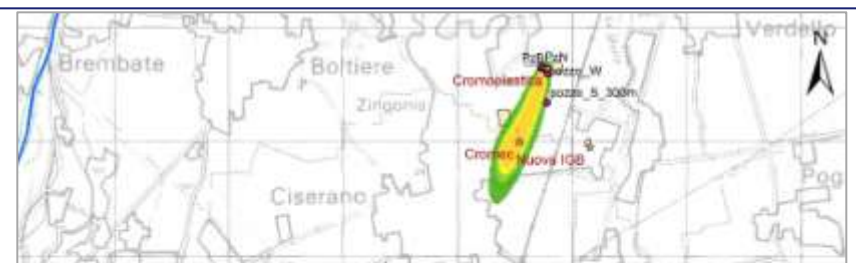


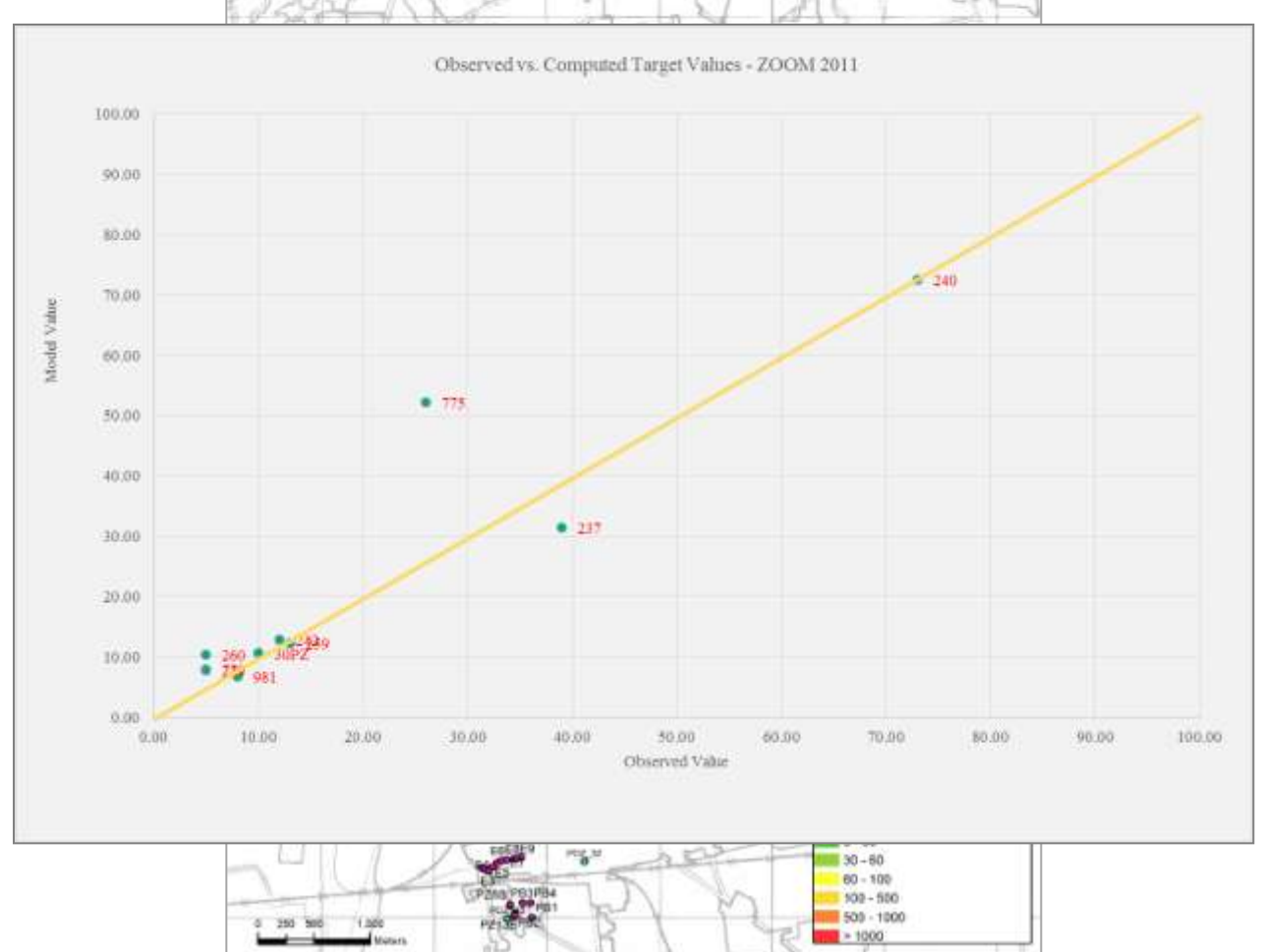




## VALIDAZIONE MODELLO DI TRASPORTO Cr VI











## VALIDAZIONE MODELLO DI TRASPORTO Cr VI

Boltiere

Brembate







50.00

Observed Value

sorgente I



10:00

20:00



• 1581

60.00

70.00

90.00

90:00

100:00

## PLUME GIUGNO 2014 su carta geologica e piezometrica

#### CARTA GEOLOGICA

#### STRALCIO LEGENDA DEI DEPOSITI CONTINENTALI QUATERNARI E NEOGENICI

UNITA' UBIQUITARIE 119 - UNITA' POSTGLACIALE c) depositi alluvionali.

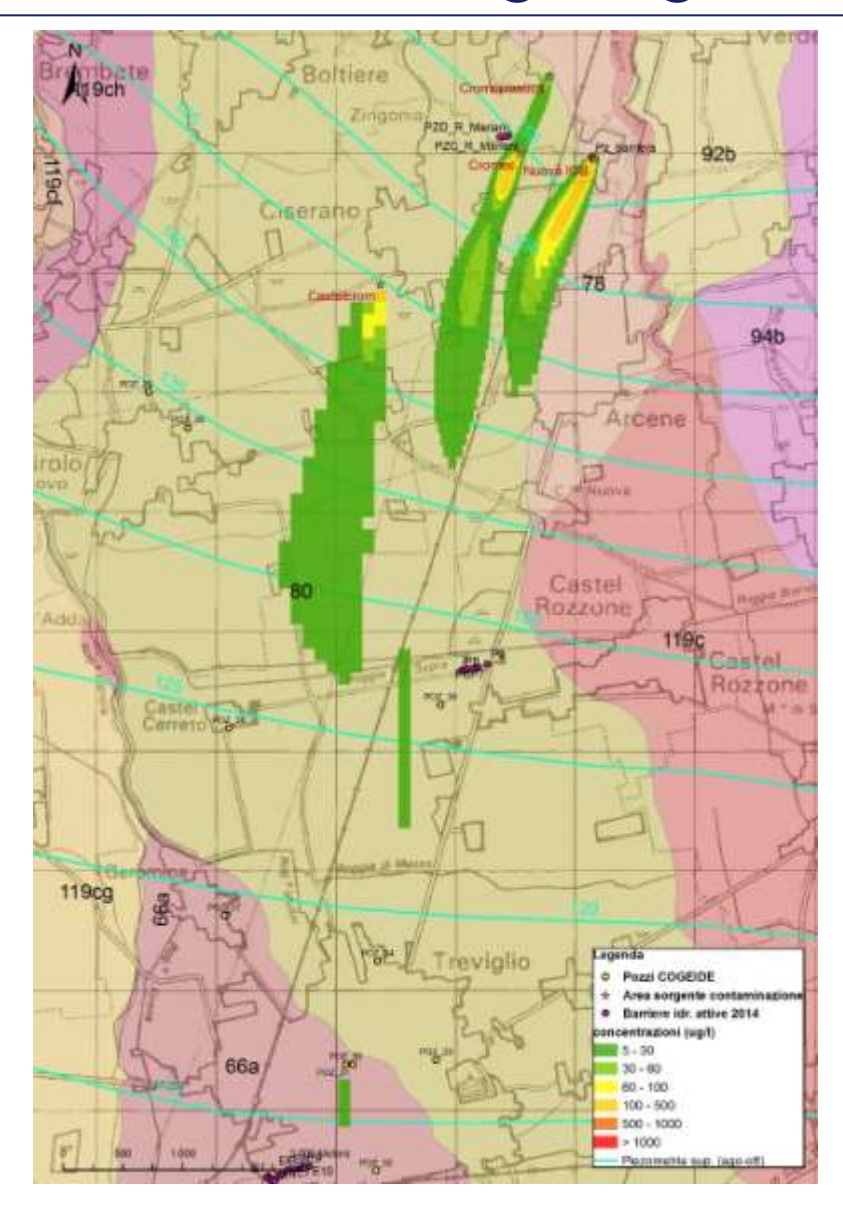
#### BACINO DEL BREMBO

80 - COMPLESSO DEL BREMBO

Depositi glaciali, fluvioglaciali alluvionali e di versante. Superficie limite superiore: morfologie ben conservate, profili di alterazione inferiori a 1,6 m, scarsa alterazione dei clasti e della matrice, colore tra 7.5YR e 10YR, copertura loessica assente. Comprensivo di: Unità dei Piani di Bobbio, Unità di Ornica, Unità di Mezzoldo, Unità di Bàresi, Unità della Cima di Menna, Unità dei Tre Pizzi, Unità di Val Mezzeno, Unità di Zogno, Unità di Treviglio. Pleistocene superiore

#### 78 - UNITA' DI BREMBATE

Depositi fluvioglaciali e alluvionali. Superficie limite superiore- suoli di spessore massimo > 5 m, colore da 5YR a 7.5YR, copertura loessica sempre presente. *Pleistocene medio* 



#### CARTE PIEZOMETRICHE

- Piezometria ottenuta dalla modellazione di flusso, realizzata preliminarmente al modello di trasporto di Cr VI nell'area di Zingonia.
- Piezometria dell'acquifero superficiale, realizzata con i dati della campagna piezometrica agosto÷ottobre 2014 di tutta la regione Lombardia.





# MODELLO DI TRASPORTO PREVISIONALE

del plume di contaminazione da Cr VI per il periodo 2014÷2020

#### **IPOTESI INIZIALI:**

- i pozzi barriera idraulica attivi nel 2014 sono stati assunti essere attivi fino al 2020;
- il rilascio della contaminazione da Cr VI concluso nel 2014.





### RISULTATI MODELLO DI TRASPORTO PREVISIONALE 2008 ÷ 2020

Anno 2008

Anno 2009

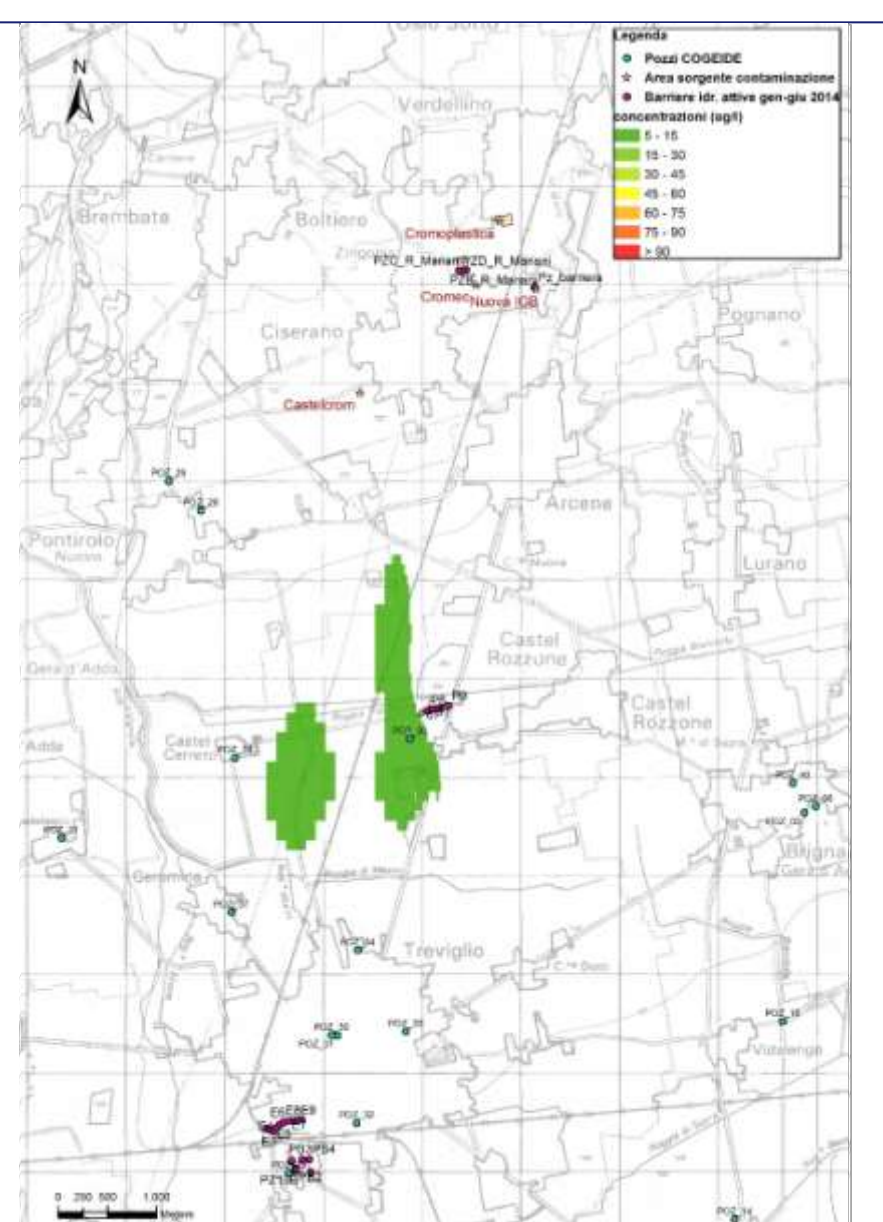
Anno 2010

Anno 2011

Anno 2012

**Anno 2013** 

Anno 2014 (giugno)



Anno 2014

**Anno 2015** 

Anno 2016

**Anno 2017** 

**Anno 2018** 

**Anno 2019** 

Anno 2020

ATTENZIONE!
Nel modello previsionale,
modifica della
classificazione delle
concentrazioni di Cr VI!





#### **CONCLUSIONI**

- La struttura geologica ha influenzato sensibilmente il trasporto dei contaminanti nell'area;
- I risultati del modello di flusso sono stati validati anche da un set di dati indipendenti ottenuti da altri studi che erano in corso;
- Il modello di trasporto risulta ben calibrato anche in considerazione delle incertezze legate a vari fattori di input (date di rilascio contaminanti, dispersività..) e alla complessità del problema (fonti molteplici, area vasta)
- Il modello di trasporto può essere usato in fase previsionale per valutare l'effetto di interventi e/o modifiche climatiche





# GRAZIE PER L'ATTENZIONE

## Marco Masetti

Dipartimento di Scienze della Terra Università degli Studi di Milano

E-mail: marco.masetti@unimi.it



